



ИПМ им. М.В. Келдыша РАН,  
Московский физико-технический институт,  
Москва, 24 июня 2025



# Применение прямого метода Ляпунова для проектирования траекторий с малой тягой (выпускная квалификационная бакалаврская работа)

Студент: С.Е. Самаров, группа Б03-104

Научный руководитель: к.ф.-м.н., доцент М.Г. Широбоков

# Мотивация и проблемы

Космические аппараты (КА) с малой тягой применяются:

- в задачах дистанционного зондирования Земли;
- при исследованиях магнитосферы и ионосферы Земли;
- для перелётов к Луне, малым телам и планетам Солнечной системы.

При решении оптимизационных задач возникают следующие проблемы:

- высокая чувствительность процедуры оптимизации к начальному приближению;
- многоэкстремальность задачи;
- осложнения, связанные с большим временем полёта и большим ЧИСЛОМ ВИТКОВ.

# Методы решения проблем

- Петухов В.Г. (метод продолжения по параметру);
- Суслов К.С., Широбоков М.Г., Трофимов С.П. (метод осреднения);
- Ивашкин В.В., Крылов И.В. (решение задачи ПМП с помощью модифицированного метода Ньютона);
- Самохин А.С., Григорьев И.С. (лестница задач);

## **Прямой метод Ляпунова:**

- Петропулос А. (применение Q-закона);
- Атмака Д., Понтани М. (применение функций Ляпунова с весовыми коэффициентами);
- Широбоков М.Г., Суслов К.С., Овчинников М.Ю. и др. (применение к задаче полета на Луну).

# Открытые вопросы

- траектории, спроектированные на основе прямого метода Ляпунова, как правило, не являются оптимальными по затратам топлива и времени перелёта;
- заранее неизвестно, какая из применяемых функций Ляпунова даст оптимальную траекторию с точки зрения того или иного функционала качества;
- спроектированные на основе прямого метода Ляпунова траектории не имеют пассивных участков.

# Цель и задачи работы

## Цель

Научиться проектировать на базе прямого метода Ляпунова миссии КА с малой тягой в околоземном пространстве.

## Задачи:

- разработать методику проектирования траекторий межорбитальных околоземных перелётов;
- провести верификацию путем сравнения расчётов с  $Q$  – законом управления малой тягой и принципом максимума Понтрягина;
- применить разработанную методику к реальной задаче перелёта.

# Постановка задачи

## Постановка задачи

- КА с двигателем малой тяги движется в околоземном пространстве;
- даны произвольные исходная и целевая орбиты;
- поле тяготения Земли считается центральным.

Найти управление, переводящее КА с исходной орбиты на целевую, рассмотреть случаи непрерывного управления и возможность экономии топлива при помощи введения пассивных участков.

# Обозначения и общий вид уравнений движения

$\Upsilon = \{h, e_x, e_y, i_x, i_y, L\}$  – модифицированные равноденственные элементы,

$\mathbf{P} = (h, e_x, e_y, i_x, i_y)^T$  – вектор из первых пяти элементов,

$\mathbf{U} = (S, T, W)^T$  – управляющее реактивное ускорение в проекциях на оси орбитальной системы координат,

$V_{ex}$  – скорость истечения газов двигателя,

$\mathbf{f}$  – вектор силы тяги,

$\dot{\mathbf{P}} = \mathbf{A}(\mathbf{P}, L) \cdot \mathbf{U}$  – система первых пяти уравнений движения КА,

$\dot{m} = -|\mathbf{f}|/V_{ex}$  – уравнение изменения массы.

# Функция Ляпунова 1 и управляющее ускорение

Функция Ляпунова 1

$$V = \frac{1}{2} \left\{ (h - h^{\text{ц}})^2 + (e_x - e_x^{\text{ц}})^2 + (e_y - e_y^{\text{ц}})^2 + (i_x - i_x^{\text{ц}})^2 + (i_y - i_y^{\text{ц}})^2 \right\},$$

$$\dot{V} = \nabla_{\mathbf{P}} V \cdot \dot{\mathbf{P}} = \mathbf{Q}^T(\mathbf{P}) \cdot \mathbf{A} \cdot \mathbf{U} = (\mathbf{A}^T \cdot \mathbf{Q}(\mathbf{P}), \mathbf{U}) \rightarrow \min,$$

$$\mathbf{U} = - \frac{\mathbf{A}^T \cdot \mathbf{Q}(\mathbf{P})}{|\mathbf{A}^T \cdot \mathbf{Q}(\mathbf{P})|} \cdot \frac{f_{\max}}{m} - \text{управляющее ускорение в точке траектории.}$$

Критерий останова интегрирования:

$$\max_{i \in [1,5]} |p_i - p_i^{\text{ц}}| \leq \varepsilon$$

# Функция Ляпунова 2 и управляющее ускорение

Функция Ляпунова 2

$$V = \frac{1}{2} \left( q_1^2(\mathbf{P}) + q_2^2(\mathbf{P}) + q_3^2(\mathbf{P}) \right),$$

$$q_1(\mathbf{P}) = \left( \frac{h^2}{1 - e_x^2 - e_y^2} - a^Ц \right) \frac{1}{a^Ц};$$

$$q_2(\mathbf{P}) = \left( 2 \operatorname{arctg} \sqrt{i_x^2 + i_y^2} - i^Ц \right) \frac{1}{i^Ц};$$

$$q_3(\mathbf{P}) = \left( e_x^2 + e_y^2 - (e^Ц)^2 \right) \frac{1}{(e^Ц)^2}.$$

$$\mathbf{U} = -\frac{f_{max}}{m} \cdot \frac{\mathbf{A}^T \cdot \mathbf{J}^T \cdot \mathbf{Q}(\mathbf{P})}{|\mathbf{A}^T \cdot \mathbf{J}^T \cdot \mathbf{Q}(\mathbf{P})|} \text{ — управляющее ускорение в точке траектории.}$$

Критерий останова интегрирования:

$$|a - a^Ц| < \varepsilon_a, \quad |i - i^Ц| \frac{180^\circ}{\pi} < \varepsilon_i, \quad |e - e^Ц| < \varepsilon_e$$

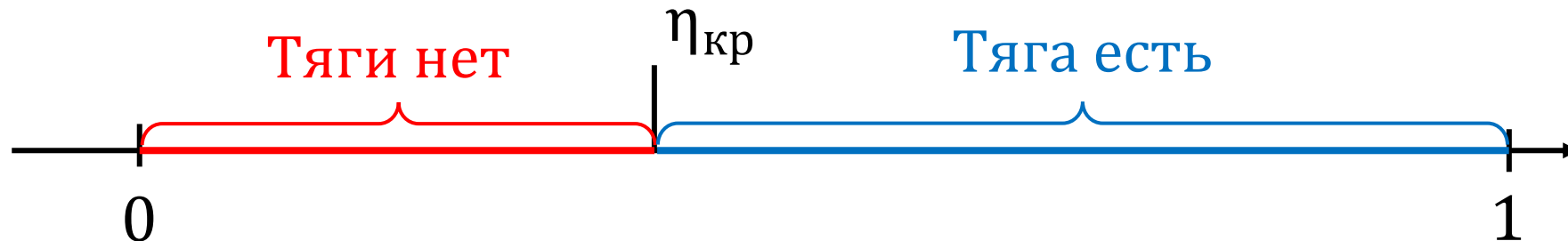
# Коэффициент эффективности тяги

Коэффициент эффективности тяги – это величина

$$\eta = \frac{\dot{V}}{\min_{L \in [0; 2\pi]} \dot{V}} = \frac{(\mathbf{A}^T \cdot \mathbf{J}^T \cdot \mathbf{Q}(\mathbf{P}), \mathbf{U})}{\min_{L \in [0; 2\pi]} (\mathbf{A}^T \cdot \mathbf{J}^T \cdot \mathbf{Q}(\mathbf{P}), \mathbf{U})} = \frac{|\mathbf{A}^T \cdot \mathbf{J}^T \cdot \mathbf{Q}(\mathbf{P})|}{\max_{L \in [0; 2\pi]} |\mathbf{A}^T \cdot \mathbf{J}^T \cdot \mathbf{Q}(\mathbf{P})|}$$

Для проектирования траекторий в работе вводится *параметр переключения тяги*  $\eta_{кр}$  и используется следующая модель управления:

- если  $\eta > \eta_{кр}$ , то  $\mathbf{U} = -\frac{\mathbf{A}^T \cdot \mathbf{J}^T \cdot \mathbf{Q}(\mathbf{P})}{|\mathbf{A}^T \cdot \mathbf{J}^T \cdot \mathbf{Q}(\mathbf{P})|} \cdot \frac{f_{\max}}{m}$ ,
- если  $\eta \leq \eta_{кр}$ , то  $\mathbf{U} = 0$ .



# Параметры исходной и целевой орбит и КА

	Исходная орбита	Целевая орбита
Большая полуось, км	7171.0	72731.0
Наклонение, град	98.0	98.0
Эксцентриситет	0.0	0.742462

## Параметры КА с малой тягой

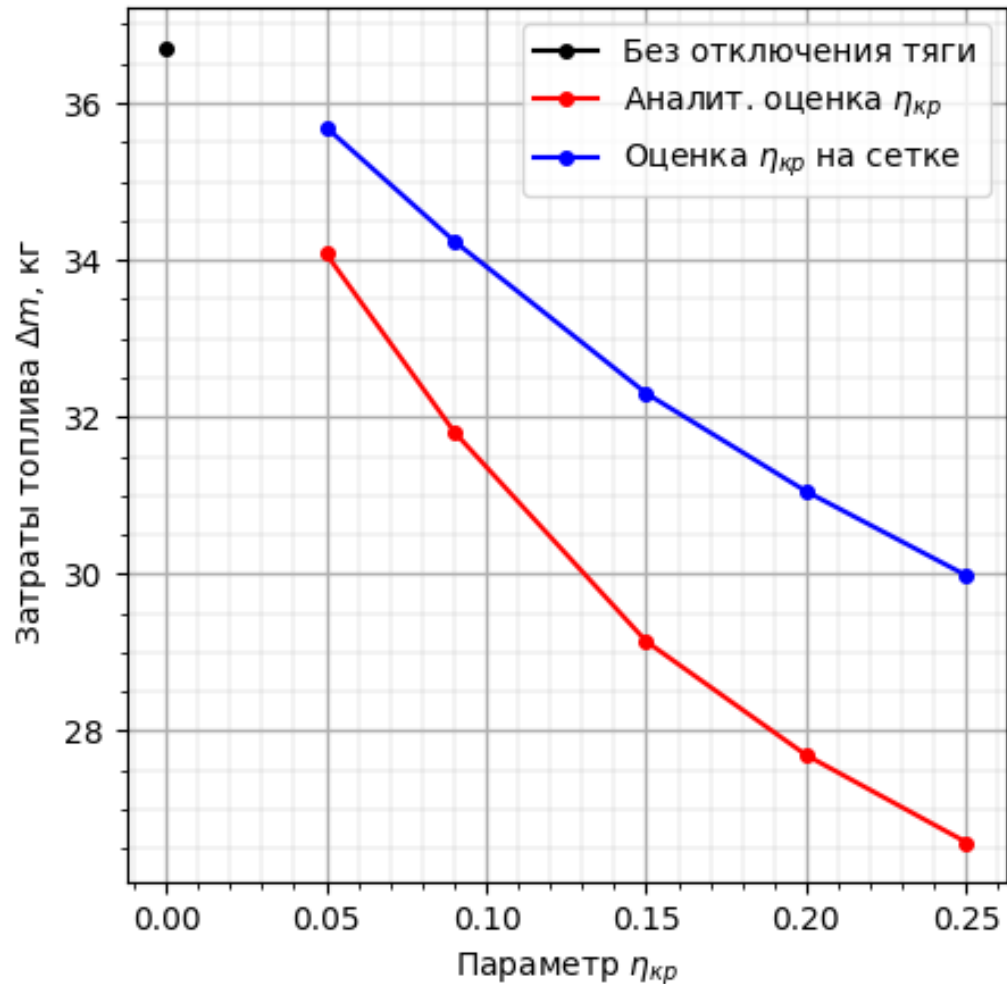
Двигатель	ПлаС34
Начальная масса КА, кг	90.0
Сила тяги, мН	22.0
Эффективная скорость истечения, км/с	12.753

# Сравнение с Q – законом Петропулоса

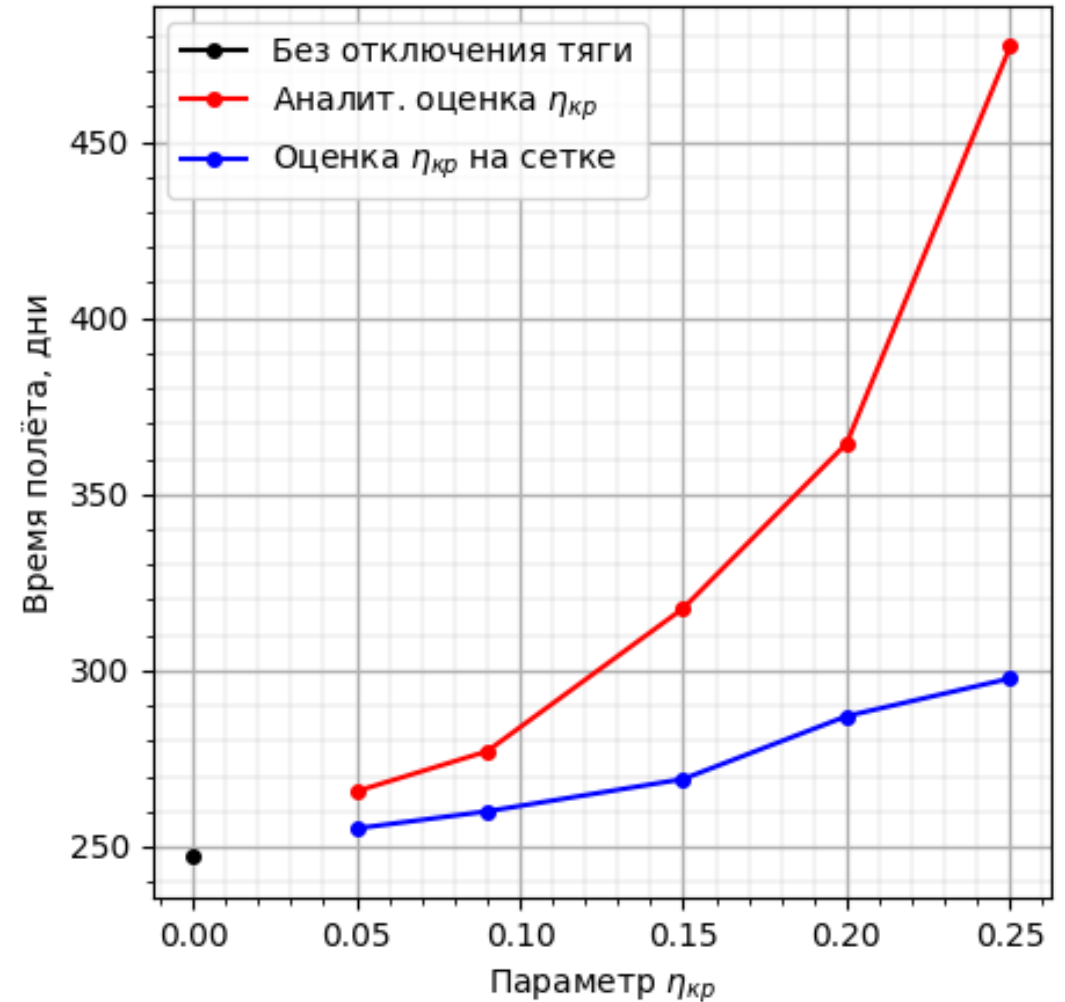
	<b>Функция Ляпунова 1</b>	<b>Функция Ляпунова 2</b>	<b>Q – закон Петропулоса</b>
<b>Время перелета, дни</b>	247.02	236.40	240.22
<b>Число витков</b>	1360	1136	1149
<b>Расход топлива, кг</b>	36.71	35.24	36.00

# Свойства траекторий с пассивными участками

Затраты топлива в зависимости от  $\eta_{кр}$



Время полёта в зависимости от  $\eta_{кр}$



# Сравнение с ПМП

	Время полета, дни		Число витков		Затраты топлива, кг	
	Оценка КЭТ на сетке	Аналит. оценка КЭТ	Оценка КЭТ на сетке	Аналит. оценка КЭТ	Оценка КЭТ на сетке	Аналит. оценка КЭТ
$\eta_{кр} = 0.09$	260.0	277.04	1391	1419	34.58	31.81
ПМП	260.0	277.04	1391	1419	23.74	23.12

# Заключение

- На основе функций Ляпунова ФЛ1 и ФЛ2 спроектированы траектории околоземного перелёта КА с малой тягой без отключения тяги.
- Для траекторий на основе ФЛ1 целевая орбита асимптотически устойчива, а для траекторий на основе ФЛ2 не является асимптотически устойчивой.
- На траекториях на основе ФЛ2 КА расходует на 1.47 кг и на 0.76 кг меньше топлива, чем на траекториях на основе ФЛ1 и на основе Q – закона соответственно.
- Разработана методика проектирования траекторий с пассивными участками на базе прямого метода Ляпунова с использованием КЭТ.
- Установлено, что при межорбитальном перелёте с пассивными участками с ростом  $\eta_{кр}$  уменьшаются затраты топлива, однако увеличивается время полета.

# Приложения (Back-up)

## Апробация работы

Результаты работы докладывались на:

- 67 Всероссийской научной конференции МФТИ (31 марта 2025 г.),
- 51 Международной молодежной научной конференции «Гагаринские чтения» МАИ (16 апреля 2025 г.),
- научном семинаре отдела №7 ИПМ им. М.В. Келдыша РАН (29 апреля 2025 г.).

# Новизна

- Для ФЛ1 и ФЛ2 получены формулы управляющего ускорения.
- Проведено сравнение свойств траекторий, спроектированных на основе ФЛ1, ФЛ2 и Q – закона.
- Получена аналитическая оценка КЭТ снизу.
- Представлена методика проектирования траекторий с пассивными участками на основе прямого метода Ляпунова с использованием оценки КЭТ на сетке и аналитической оценки КЭТ .
- Проведено сравнение свойств траекторий, спроектированных на основе оценки КЭТ на сетке, аналитической оценки КЭТ, а также траекторий, оптимизированных в рамках ПМП

# Модифицированные равноденственные элементы

$$h = \sqrt{\frac{a(1 - e^2)}{\mu}}$$

$$e_x = e \cos(\omega + \Omega)$$

$$e_y = e \sin(\omega + \Omega)$$

$$i_x = \operatorname{tg} \left( \frac{i}{2} \right) \cos \Omega$$

$$i_y = \operatorname{tg} \left( \frac{i}{2} \right) \sin \Omega$$

$$L = \theta + \omega + \Omega$$

$$\sigma = 1 + e_x \cos L + e_y \sin L,$$

$$\zeta = i_x \sin L - i_y \cos L,$$

$$\varphi = 1 + i_x^2 + i_y^2$$

# Система уравнений движения КА

$$\left\{ \begin{array}{l} \frac{dh}{dt} = \frac{h^2}{\sigma} \cdot T, \\ \frac{de_x}{dt} = h \left\{ \sin L \cdot S + \left[ \left( 1 + \frac{1}{\sigma} \right) \cos L + \frac{e_x}{\sigma} \right] \cdot T - \frac{e_y \zeta}{\sigma} \cdot W \right\}, \\ \frac{de_y}{dt} = h \left\{ -\cos L \cdot S + \left[ \left( 1 + \frac{1}{\sigma} \right) \sin L + \frac{e_y}{\sigma} \right] \cdot T + \frac{e_x \zeta}{\sigma} \cdot W \right\}, \\ \frac{di_x}{dt} = h \frac{\varphi \cos L}{2\sigma} \cdot W, \\ \frac{di_y}{dt} = h \frac{\varphi \sin L}{2\sigma} \cdot W, \\ \frac{dL}{dt} = \frac{\sigma^2}{h^3} + h \frac{\zeta}{\sigma} \cdot W. \end{array} \right.$$

# Матрица $\mathbf{A}$ системы уравнений движения

$$\begin{pmatrix} \frac{dh}{dt} \\ \frac{de_x}{dt} \\ \frac{de_y}{dt} \\ \frac{di_x}{dt} \\ \frac{di_y}{dt} \end{pmatrix} = \begin{pmatrix} 0 & h^2 \sigma^{-1} & 0 \\ h \sin L & h \left[ \left(1 + \frac{1}{\sigma}\right) \cos L + \frac{e_x}{\sigma} \right] & -h \frac{e_y \zeta}{\sigma} \\ -h \cos L & h \left[ \left(1 + \frac{1}{\sigma}\right) \sin L + \frac{e_y}{\sigma} \right] & h \frac{e_x \zeta}{\sigma} \\ 0 & 0 & h \frac{\varphi \cos L}{2\sigma} \\ 0 & 0 & h \frac{\varphi \sin L}{2\sigma} \end{pmatrix} \begin{pmatrix} S \\ T \\ W \end{pmatrix},$$

где

$$\begin{cases} \sigma = 1 + e_x \cos L + e_y \sin L, \\ \zeta = i_x \sin L - i_y \cos L, \\ \varphi = 1 + i_x^2 + i_y^2 \end{cases}$$

# Матрица Якоби

$$\mathbf{J} = \begin{pmatrix} \frac{\partial q_1}{\partial h} & \frac{\partial q_1}{\partial e_x} & \frac{\partial q_1}{\partial e_y} & \frac{\partial q_1}{\partial i_x} & \frac{\partial q_1}{\partial i_y} \\ \dots & \dots & \dots & \dots & \dots \\ \frac{\partial q_n}{\partial h} & \frac{\partial q_n}{\partial e_x} & \frac{\partial q_n}{\partial e_y} & \frac{\partial q_n}{\partial i_x} & \frac{\partial q_n}{\partial i_y} \end{pmatrix}$$

# Сглаживающая функция сигмоида

Сглаживающая функция *сигмоида*

$$\Sigma(x, c, d) = \frac{1}{1 + e^{-(x-c) \cdot d}}$$

Управляющее ускорение в точке траектории с учетом сглаживания

$$\mathbf{U} = -\Sigma(\eta, c, d) \cdot \frac{f_{max}}{m} \cdot \frac{(\nabla_{\mathbf{p}} V \cdot \mathbf{A})^T}{|(\nabla_{\mathbf{p}} V \cdot \mathbf{A})^T|}$$

# Схема расчета расхода топлива при использовании ПМП

$$N = \frac{|\mathbf{f}| \cdot V_{ex}}{2} = const, \quad |\mathbf{f}| = m \cdot |\mathbf{U}|,$$

$$\dot{m} = -\frac{|\mathbf{f}|}{V_{ex}} = -\frac{|\mathbf{f}|^2}{|\mathbf{f}| \cdot V_{ex}} = -\frac{|\mathbf{f}|^2}{2N} = -\frac{m^2 \cdot |\mathbf{U}|^2}{2N},$$

$$-\frac{\dot{m}}{m^2} = \frac{|\mathbf{U}|^2}{2N},$$

$$\frac{d}{dt} \left( \frac{1}{m} \right) = \frac{|\mathbf{U}|^2}{2N}.$$

# Доказательство асимптотической устойчивости (1 из 2)

$$\dot{V} = 0 \Leftrightarrow |(\nabla_{\mathbf{P}}V \cdot \mathbf{A})^T| = 0$$

$$\nabla_{\mathbf{P}}V = (h - h^{\Pi}, \quad e_x - e_x^{\Pi}, \quad e_y - e_y^{\Pi}, \quad i_x - i_x^{\Pi}, \quad i_y - i_y^{\Pi})$$

$$(\nabla_{\mathbf{P}}V \cdot \mathbf{A})^T$$

$$= \begin{pmatrix} (e_x - e_x^{\Pi}) h \sin L - (e_y - e_y^{\Pi}) h \cos L \\ (h - h^{\Pi}) h^2 \sigma^{-1} + (e_x - e_x^{\Pi}) h \left[ \left( 1 + \frac{1}{\sigma} \right) \cos L + \frac{e_x}{\sigma} \right] + (e_y - e_y^{\Pi}) h \left[ \left( 1 + \frac{1}{\sigma} \right) \sin L + \frac{e_y}{\sigma} \right] \\ -(e_x - e_x^{\Pi}) h \frac{e_y \zeta}{\sigma} + (e_y - e_y^{\Pi}) h \frac{e_x \zeta}{\sigma} + (i_x - i_x^{\Pi}) h \frac{\varphi \cos L}{2\sigma} + (i_y - i_y^{\Pi}) h \frac{\varphi \sin L}{2\sigma} \end{pmatrix}$$

$$= \begin{pmatrix} 0 \\ 0 \\ 0 \end{pmatrix}$$

# Доказательство асимптотической устойчивости (2 из 2)

$$\text{Уравнение } (e_x - e_x^{\text{ц}}) h \sin L - (e_y - e_y^{\text{ц}}) h \cos L = 0$$

должно быть выполнено для  $\forall L$ . Это возможно только в том случае,

$$\text{когда } e_x = e_x^{\text{ц}}; \quad e_y = e_y^{\text{ц}}$$

Подставляя эти выражения во второе уравнение и воспользовавшись тем, что оно должно быть выполнено для  $\forall L$ , получаем равенства  $h = h^{\text{ц}}$ .

Подставляя значения  $e_x^{\text{ц}}$ ,  $e_y^{\text{ц}}$ ,  $h^{\text{ц}}$  в третье уравнение и воспользовавшись тем, что оно должно быть выполнено для  $\forall L$ , получаем равенства  $i_x = i_x^{\text{ц}}; \quad i_y = i_y^{\text{ц}}$ .

По теореме Барбашина-Красовского асимптотическая устойчивость целевой орбиты доказана.

# Аналитическая оценка КЭТ снизу

Обозначение

$$\left( h^2(k_1^2 + k_2^2) + \frac{2h^2}{(1-e)^2} (k_0h + k_1e_x + k_2e_y)^2 + \frac{2h^2(2-e)^2}{(1-e)^2} (k_1^2 + k_2^2) + \frac{2h^2 \operatorname{tg}^2 \frac{i}{2}}{(1-e)^2} (-k_1e_y + k_2e_x)^2 + \frac{h^2 \left(1 + \operatorname{tg}^2 \frac{i}{2}\right)}{2(1-e)^2} (k_3^2 + k_4^2) \right)^{\frac{1}{2}} = K,$$

где  $\nabla_P V = (k_0, k_1, k_2, k_3, k_4)$ .

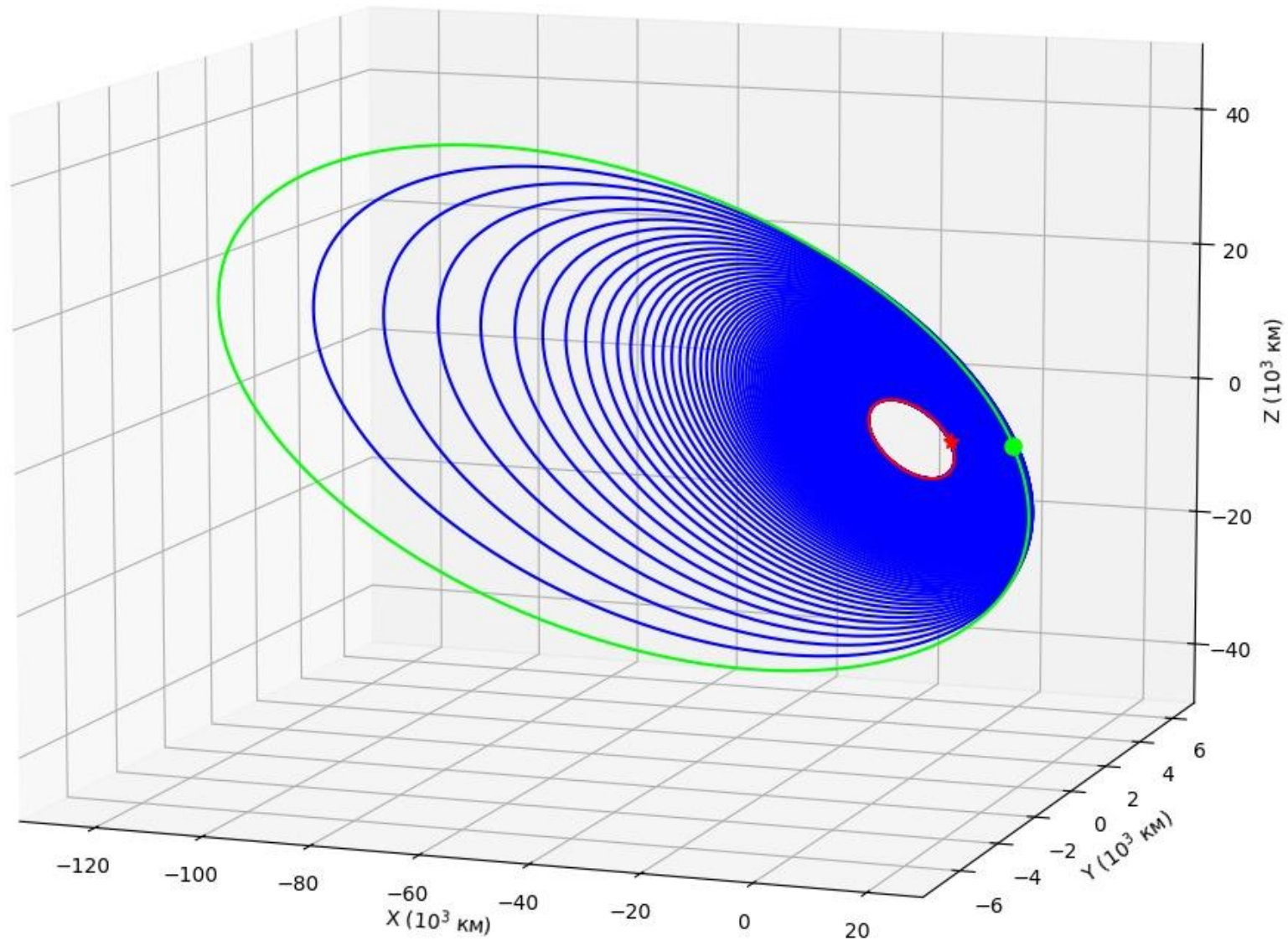
Оценка КЭТ снизу

$$\eta \geq \frac{|\nabla_P V \cdot A|}{K}.$$

# Результаты расчета траекторий с пассивными участками

Величина $\eta_{кр}$	Время полёта, дни		Моторное время, дни		Затраты топлива, кг	
	Оценка КЭТ на сетке	Аналит. оценка КЭТ	Оценка КЭТ на сетке	Аналит. оценка КЭТ	Оценка КЭТ на сетке	Аналит. оценка КЭТ
0	247.02		247.02		36.71	
0.05	255.15	265.68	252.83	256.96	35.69	34.08
0.09	260.00	277.04	249.83	261.31	34.24	31.81
0.15	269.16	317.60	244.96	252.28	32.30	29.14
0.20	287.03	364.42	243.86	233.96	31.05	27.69
0.25	297.72	477.01	238.56	225.29	29.98	26.58

# Траектория перелёта КА с малой тягой



# Некомпланарные орбиты

	Исходная орбита	Целевая орбита
Большая полуось, км	7171.0	72731.0
Наклонение, град	51.6	98.0
Эксцентриситет, безразм	0.0	0.742462

## Параметры КА с малой тягой

Двигатель	ПлаС34
Начальная масса КА, кг	90.0
Сила тяги, мН	22.0
Эффективная скорость истечения, км/с	12.753

# Проектирование траекторий (некомпланарные орбиты)

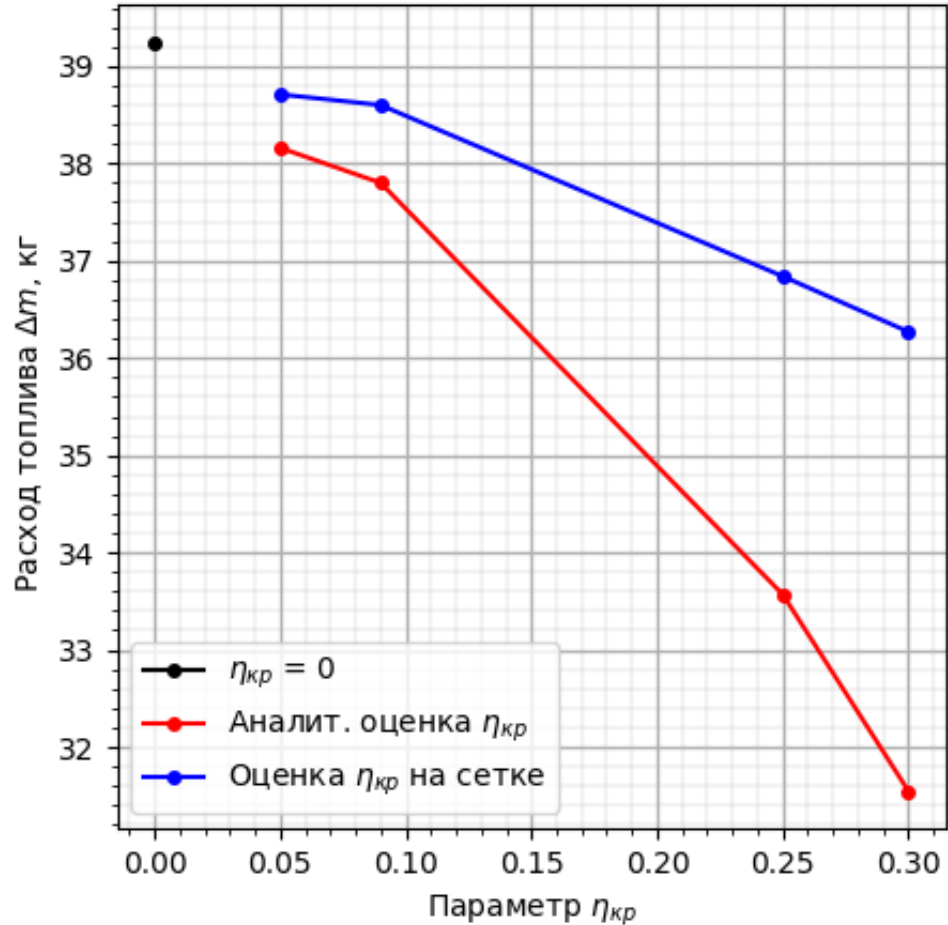
	<b>Функция Ляпунова 1</b>	<b>Функция Ляпунова 2</b>	<b>Q – закон Петропулоса</b>
<b>Время перелета, дни</b>	278.37	288.98	361.31
<b>Число витков</b>	1437	1363	1165
<b>Расход топлива, кг</b>	39.25	43.1	54.00

# Некомпланарные орбиты

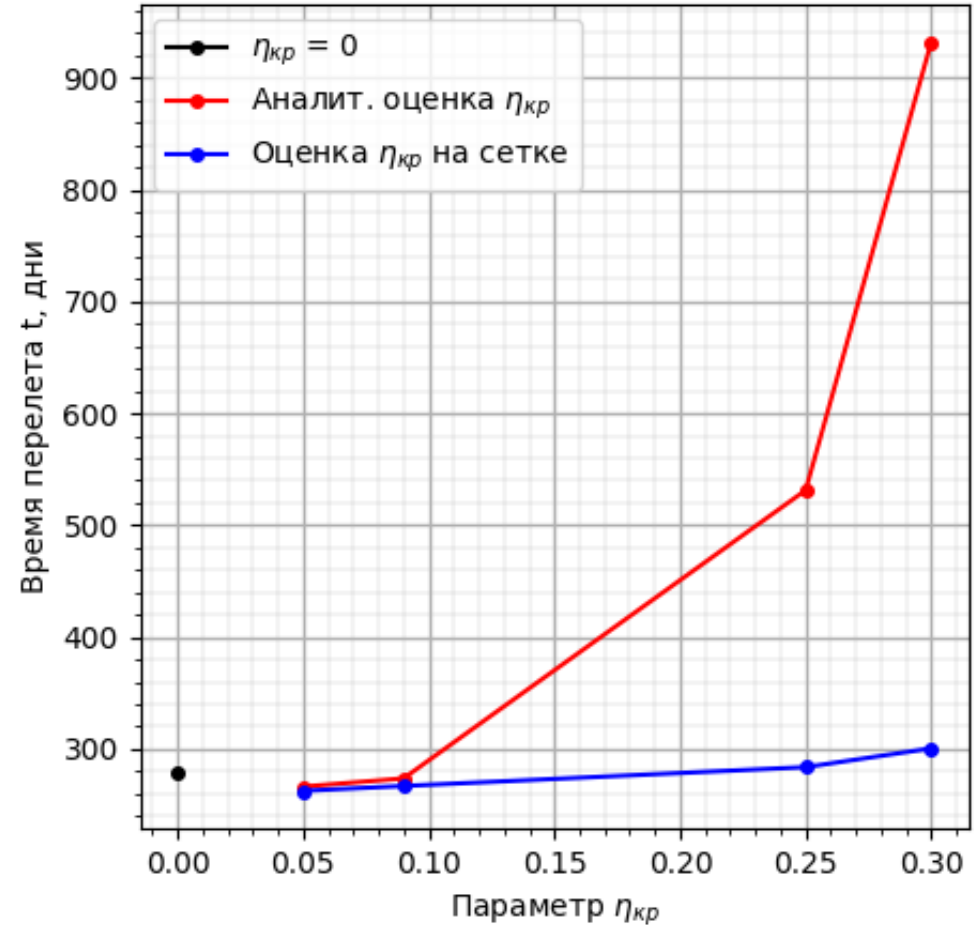
Параметр $c$ СИГМОИДЫ	Время полёта, дни		Число витков		Затраты топлива, кг	
	Оценка $\eta_{кр}$ на сетке	Аналит. оценка $\eta_{кр}$	Оценка $\eta_{кр}$ на сетке	Аналит. оценка $\eta_{кр}$	Оценка $\eta_{кр}$ на сетке	Аналит. оценка $\eta_{кр}$
0	278.37		1437		39.25	
0.05	262.56	266.32	1430	1432	38.71	38.16
0.09	266.91	273.7	1432	1436	38.6	37.8
0.25	283.75	531.38	1504	1753	36.84	33.57
0.3	300.56	932.24	1567	2179	36.27	31.55

# Графики зависимостей от $\eta_{кр}$ (некомпланарные орбиты)

Расход топлива в зависимости от параметра  $\eta_{кр}$



Время перелета в зависимости от параметра  $\eta_{кр}$



# Сравнение с ПМП (некомпланарные орбиты)

	Время полета, дни		Число витков		Затраты топлива, кг	
	Оценка $\eta_{кр}$ на сетке	Аналит. оценка $\eta_{кр}$	Оценка $\eta_{кр}$ на сетке	Аналит. оценка $\eta_{кр}$	Оценка $\eta_{кр}$ на сетке	Аналит. оценка $\eta_{кр}$
$\eta_{кр} = 0.09$	266.91	273.7	1432	1436	38.6	37.8
ПМП	266.91	273.7	1432	1436	30.16	29.34
$\eta_{кр} = 0$	278.37		1437		39.25	
ПМП	278.37		1437		28.95	

# СПИСОК ИСПОЛЬЗОВАННЫХ ИСТОЧНИКОВ

1. Петухов В.Г. *Оптимальные многовитковые траектории выведения космического аппарата с малой тягой на высокую эллиптическую орбиту* // Космические исследования, 2009, т. 47, № 3, 271–279 с.
2. Suslov, K., Shirobokov, M., Trofimov, S. *Approximate Finite Fourier Solution to the Periodically Perturbed Two-Body Problem* // Journal of Guidance and Dynamics, 2024, Vol. 47, No.
3. Petropulos, A. E. *Low-thrust orbit transfers using candidate Lyapunov functions with a mechanism for coasting* // AIAA Paper 2004-5089, AIAA/AAS Astrodynamics Specialist Conference and Exhibit, Rhode Island, USA, August 16-19, 2004
4. Ельников Р. В. *Использование функции Ляпунова для вычисления локально-оптимального управления вектором тяги при межорбитальном перелёте с малой тягой* // Космические исследования, 2021, т. 59, № 3, 255–264 с
5. Atmaca, D., and Pontani, M. *Near-Optimal Feedback Guidance for Low-Thrust Orbit Transfers* // Aerotecnica Missili & Spazio, 2024, Vol. 103, pp. 245-253.